

01:04

## О МЕХАНИЗМЕ ПРОБОЯ ВОЗДУХА УБЕГАЮЩИМИ ЭЛЕКТРОНАМИ

© A. V. Ивановский

1. В [1] рассмотрено развитие лавины, инициируемой релятивистским электроном. В [1,2] высказываются предположения, что указанный пробой, названный пробоем убегающими электронами, может быть механизмом: инициирования молний; распространения вверх направленных молний; ступеней лидера. При этом первыйный электрон возникает в результате взаимодействия космических лучей с атмосферой. Представляет интерес анализ развития процессов по аналогии с классической схемой: лавина; лавинно-стримерный переход; стример [3].

2. Пусть имеется однородное поле  $E_0$ , ориентированное в отрицательном направлении оси  $z$ . Напряженность  $E_0$  меньше классической пробойной  $E_{br}$ , определяемой равенством частот прилипания и ионизации. Величина  $E_{br} = E^* \delta$ , где  $E^* \cong 30 \text{ кВ/см}$ ,  $\delta = \rho / \rho_0$  — относительная плотность воздуха ( $\rho_0 = 1.23 \cdot 10^{-3} \text{ г/см}^3$ ). При  $t = 0$  в точке  $z = 0$  появляется релятивистский электрон с энергией  $W_0$ , летящий в положительном направлении оси  $z$ . На электрон действует ускоряющая сила  $eE_0$  и сила торможения  $F_B$ , определяемая формулой Бете–Блоха (рис. 1). Если  $eE_0 > F_B(W_0)$ , то электрон ускоряется. В результате ионизации рождаются новые частицы, которые делятся на группы: быстрые ( $eE_0 > F_B(W)$ ) и медленные ( $eE_0 > F_B(W)$ ). Первые, ускоряясь, рождают новые электроны и т. д. Это явление получило название пробоя убегающими электронами [1]. Соответствующее пробойное поле  $E_{RA}$  определяется по минимуму  $F_B^{\min}$  в зависимости  $F_B$  от  $W$  (рис. 1). Величина  $E_{RA} = E_1 \delta$ , где  $E_1 = F_B^{\min} / (e\delta) \cong 2 \text{ кВ/см}$ . На ранней стадии, пока токи малы, пробой идет в однородном поле. Этую стадию будем называть релятивистской электронной лавиной.

3. Релятивистская лавина. В [2] путем численного решения уравнений Больцмана в пространстве скоростей оценены времена развития процесса. В частности, при  $E_0 = 2E_a \cdot \delta$  и  $W_0 = 2 \text{ МэВ}$  время нарастания тока быстрых частиц в лавине в  $e$  раз  $t_i = t_i^* / \delta$  ( $t_i^* \sim 10 \text{ нс}$ ). Число медленных частиц на единице длины лавины  $N_s$  определяется

из

$$\frac{dN_s}{dt} = N_r c \frac{F_B}{\langle I \rangle}, \quad (1)$$

где  $\langle I \rangle$  — цена ионизации (для воздуха  $\langle I \rangle = 34 \text{ эВ}$ );  $N_r = N_0 \cdot \exp(t/t_i)$  — число быстрых электронов на единицу длины;  $c$  — скорость света.

Решение для  $N_s$  имеет вид

$$N_s = N_r \cdot \frac{ct_i F_B}{\langle I \rangle}. \quad (2)$$

Отношение токов медленных  $I_s$  и быстрых  $I_r$  частиц находится из

$$\eta = \frac{\vartheta_{dr}(E_0/\delta) \cdot t_i \cdot F_B}{\langle I \rangle} \cong 2 \quad (3)$$

и не зависит от плотности среды. Численная оценка сделана для  $E_0/\delta = 2E_1 (\vartheta_{dr}(E_0/\delta = 2E_1) = 3.4 \cdot 10^6 \text{ см/с} [4])$ .

Таким образом, на стадии лавины ионизация идет быстрыми электронами, т. е. пробой "тянется" быстрыми частицами. Однако ток лавины определяется в основном медленными электронами.

**4. Релятивистский лавинно-стримерный переход.** По мере развития происходит поляризация тела лавины в поле  $E_0$ . Создаваемые зарядами лавины поля становятся сравнимыми с  $E_0$ . Как показано выше, поляризация идет в основном токами медленных электронов. Момент перехода от лавины к стримеру определяется из равенства масштаба

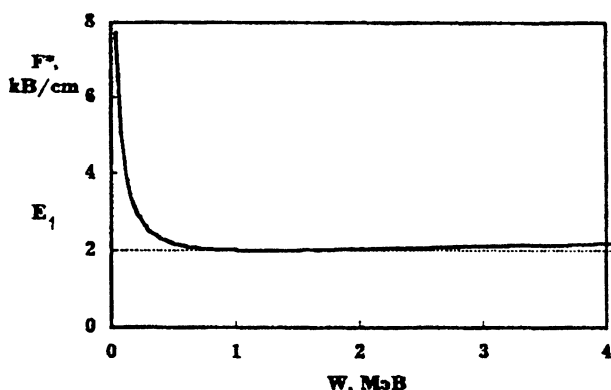


Рис. 1. Зависимость силы торможения  $F^* = F_B/(e\delta)$  от энергии электронов ( $E_1 = 2 \text{ кВ/см}$ ).

растекания заряда по длине лавины за время  $t_i$  длине ионизации  $z_i = ct_i$ . Растекание заряда носит диффузионный характер [5]. Его масштаб оценим из  $L \sim \sqrt{Dt_i}$ , где коэффициент диффузии  $d = ek_e N_s |\Lambda| / 2\pi\epsilon_0$ ,  $\Lambda = \ln(2ct_i/a)$ ,  $a$  — радиус лавины,  $k_e = \vartheta_{dr}(E/\delta)/E$  — подвижность электронов. Приравнивая  $L$  и  $z_i$ , получаем критическое для перехода лавины в стример значение тока

$$I_s^* \cong \frac{\pi\epsilon_0}{2\Lambda} c^2 t_i E_0. \quad (4)$$

Интерпретация (4) проста. Вводя приложенный на масштабах  $z_i$  потенциал  $V = ct_i E_0$  и волновое сопротивление  $R_w = 1/2\pi \cdot \sqrt{\mu_0/\epsilon_0}$ , имеем

$$I_s^* \cong \frac{V}{R_w}. \quad (5)$$

То есть переход от лавины к стримеру происходит в момент, когда проводимость медленных электронов способна обеспечить распространение разряда со скоростью, близкой к световой (волновое распространение). Принципиальное отличие лавины от стримера состоит в том, что в первом случае движение разряда обеспечивается механическим перемещением быстрых электронов, во втором — трассовой (кабельной) волной, бегущей с фазовой скоростью по длинной линии. Источником, формирующим трассу (создающим медленные электроны), может быть и классический пробой в усиленном на головке поле. При  $E_0 \cong 2E_1 \cdot \delta$  величина  $V = 12 \text{ МВ}$ , что достаточно для формирования идущего со скоростью, близкой к световой, классического пробоя [4,6]. При этом не исключается наличие вблизи головки волны быстрых электронов, но они определяют распространение разряда в целом. Такая ситуация характерна для высокоскоростных волн ионизации [7].

Критерии перехода лавины в стример (5) не зависят от плотности среды. Для  $E_0 \cong 2E_1 \cdot \delta$  с учетом (3) получаем значение  $i_r^* \sim 5 \text{ кА}$  ( $\Lambda = 2$ ). Время  $t_0$  достижения лавинно-стримерного перехода определяется из

$$t_0 \cong t_i \ln \left( \frac{I_r^* \cdot t_i}{e} \right). \quad (6)$$

Для воздуха нормальной плотности  $t_0 \cong 330 \text{ нс}$  ( $z_0 \cong 100 \text{ м}$ ).

**5. Установившийся стримерный разряд.** Усиление поляризации ведет к росту поля как на головке волны, так

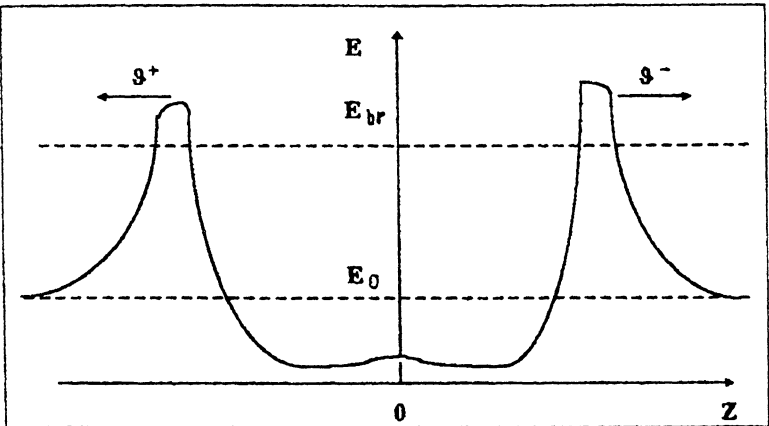


Рис. 2. Пояснение к схеме формирования установившегося стримерного разряда.

и у основания (рис. 2). Формируется две волны ионизации, распространяющиеся в положительном (отрицательный стример) направлениях оси  $z$ . Ионизацией в положительном стримере обеспечивается поставка заряда (подпитка), необходимая для распространения отрицательного стримера, и наоборот. Такая ситуация реализуется неминуемо, так как иначе нарушается закон непрерывности тока. С течением времени проводимость падает вследствие прилипания. С ростом расстояния между фронтами волн ионизации до  $\sim 2c/\nu_{att}$  ( $\nu_{att} = 1/t_{att}$  — частота прилипания) положительный и отрицательный стример начинают существовать автономно. Формируется установившийся стримерный разряд — аналог рассмотренного в [8] с приложенным вследствие поляризации на длине прилипания [9] потенциалом  $V \sim ct_{att}E_0$ .

Как в классическом, так и релятивистском случаях процесс инициируется механическим перемещением электронов, ионизующих воздух. В первом случае — с дрейфовой скоростью, во втором — со световой. Имеется порог по полу, определяемый равенством: в классическом случае — частот прилипания и ионизации; в релятивистском — ускоряющей силы и силы торможения. Переход лавины в стример происходит, когда наработанная проводимость достаточна для электродинамического распространения, в первом случае со скоростью дрейфа, во втором — со световой, т. е. на смену механической тянувшей силы приходит электродинамика. Имеется большое количественное отличие в

масштабах и скоростях, а следовательно, и реализуемых потенциалах.

6. Отрицательный стример может дать начало направленной вверх молнии, положительный — к земле, или наоборот. Одна из волн или обе могут соответствовать внутриоблачному разряду. Оценивая напряжение установившегося стримерного разряда из

$$V_{st} \cong E_0 c t_{att}^{\max}, \quad (7)$$

видим, что для воздуха нормальной плотности оно составляет  $\sim 10 \text{ МВ}$  ( $t_{att}^{\max} \cong 50 \text{ нс}$  — время прилипания в максимуме [4]), т.е. близко к молниевым напряжениям [10]. Токи  $I_{st} \cong V_{st}/R_w$  составляют десятки килоампер. В случае нагрева среды, а возможно, шнурования канала,  $V_{st}$  может быть большим, т.е. не исключена трактовка механизма инициирования молнии как релятивистского лавинно-стримерного перехода.

На высотах  $\sim 20-25 \text{ км}$ , минимальных для направленных вверх молний, масштаб формирования лавинно-стримерного перехода  $\sim 1 \text{ км}$ . Отсюда пробой убегающими электронами можно рассматривать как механизм инициирования, а не распространения молний. Можно предположить, что механизм распространения направленной вверх молнии близок к установленному стримерному разряду с возможным выходом на высокоскоростную волну ионизации [7] при уменьшении  $E_0, \delta$ .

За время  $\sim 50 \text{ мкс}$ , характерное для ступеней лидера, вероятность появления релятивистского электрона близка к 1 для объемов  $\sim 10^3 \text{ м}^3$  [11]. Поэтому интересно исследование возможности инициирования ступеней пробоем убегающими электронами при высоких потенциалах, например в схеме [6]. Хотя данные экспериментов [12] свидетельствуют, что со стороны низких потенциалов есть альтернативный механизм.

### Список литературы

- [1] Gurevich A.V., Milikn G.M., Roussel-Dupre R.A. // Phys. Lett. A. 1992. V. 165. P. 463.
- [2] Roussel-Dupre R.A., Gurevich A.V., Tunnel T., Milikh G.M. // Kinetic theory of runaway air breakdown and the implications for lightning initiation. Los Alamos National Laboratory Report No. La-12601-MS, 1993.
- [3] Лозанский Э.Д., Фирсов О.В. Теория искры. М.: Атомиздат, 1975. 272 с.
- [4] Голубев А.И., Ивановский А.В., Соловьев А.А. и др. // ВАНТ. Сер. Теор. и прикл. физика. 1985. В. 2. С. 17-27.
- [5] Дьяконов М.И., Качоровский В.Ю. // ЖЭТФ. 1990. Т. 98. В3(9). С. 895-907.
- [6] Голубев А.И., Золотовский В.И., Ивановский А.В. // ЖТФ. 1992. Т. 62. В. 5. С. 29-43.

- [7] Василяк Л.М., Костюченко С.В., Кудрявцев Н.Н. и др. // УФН. 1994. Т. 164. № 3. С. 263–285.
- [8] Dowson G., Winn W. // Z. Phys. 1965. V. 183. P. 165–171.
- [9] Базелян Э.М., Горюнов А.Ю. // Электричество. 1986. N 11. С. 27–33.
- [10] Юман М. Молния. М.: Мир, 1972. 326 с.
- [11] Райзер Ю.П. // Физика газового разряда. М.: Наука, 1987. 591 с.
- [12] Горин Б.Н., Шкилев А.В. Электричество. 1976. № 2. С. 31–39.

Поступило в Редакцию

22 августа 1995 г.

В окончательной редакции  
6 мая 1996 г.

---